

- [2] Seidman D.N. // Surface Science. 1978.  
V. 70. P. 532.
- [3] Heald P.T., Spright H.V. // Acta Metall. 1975. V. 29. P. 1389.
- [4] Трушин Ю.В., Орлов А.Н. // ЖТФ. 1986. Т. 56. С. 1302.
- [5] Трушин Ю.В. // ЖТФ. 1987. Т. 57. С. 226.
- [6] Рязанов А.И. Препринт ИАЭ - 2621, М., 1976.
- [7] Орлов А.Н., Самсонидзе Г.Г., Трушин Ю.В. // ЖТФ. 1986. Т. 56. С. 1311.
- [8] Самсонидзе Г.Г., Трушин Ю.В. // ЖТФ. 1988. Т. 58. С. 42.
- [9] Суворов А.Л., Кукавадзе Г.М. // ФММ. 1970. Т. 30. С. 116.
- [10] Шредник В.Н. Рост кристаллов, М.: Наука, 1980, т. ХШ, с. 68.
- [11] Braileford A.D., Bullough R. // Phil. Mag. 1973. V. 27. P. 49.
- [12] Bullough R., Haynes M.R. // J. Nucl. Mater. 1975. V. 57. P. 348.
- [13] Mansur L.K. // J. Nucl. Mater. 1979. V. 83. P. 109.
- [14] Orlov A.N., Samsonidze G.G., Trushin Yu.V. // Rad. Eff. 1986. V. 97. P. 45.

Поступило в Редакцию  
18 мая 1990 г.

Письма в ЖТФ, том 16, вып. 17

12 сентября 1990 г.

05.4

© 1990

## СТАБИЛИЗАЦИЯ КРИТИЧЕСКИХ ПАРАМЕТРОВ ТОНКИХ ПЛЕНОК $Y$ - $Va$ - $Cu$ - $O$ С ПОМОЩЬЮ ПАССИВИРОВАНИЯ СЕРЕБРОМ

Е.А. Протасов, И.В. Собакин,  
Ю.П. Скопинцев, А.А. Иванов

Изучение стабильности параметров сверхпроводниковых пленок системы  $Y$ - $Va$ - $Cu$ - $O$  показало, что пленки без защитного покрытия с течением времени теряют свои сверхпроводящие свойства.

В этой связи важное значение имеет разработка способов, предохраняющих сверхпроводниковые пленки от разрушающего действия как атмосферы, так и вакуума. Такая задача была поставлена в данной работе.

В качестве пассиватора нами было использовано серебро, которое, как было показано в работе [1], по-первых, способствует лучшему росту сверхпроводящей фазы, а во-вторых, приводит к некоторому росту критической температуры. Кроме того, как следует из [2], добавка серебра в шихту  $Y - Ba - Cu - O$  увеличивает критический ток в массивных образцах более чем в 2 раза.

Сверхпроводниковые пленки  $Y - Ba - Cu - O$  были получены с помощью импульсного лазерного испарения в атмосфере кислорода ( $\rho = 10^{-1}$  мм рт. ст.) по методике, описанной в работе [3]. Толщины пленок варьировались от 0,2 до 1 мкм. Подложкой служил монокристаллический  $SrTiO_3$ . Для пассивирования использовалось серебро чистотой 999,9, которое наносилось в виде тонкого слоя (300/500 Å) на ВТСП пленку с помощью термического или лазерного испарения.

Для оценки эффективности защитного покрытия, а также его влияния на сверхпроводящие свойства, при использовании первого метода пленка разрезалась на две равные части с помощью лазерного скайбирования. На одну из частей термическим способом наносился слой серебра, а затем проводился отжиг при 300–450 °C в течении 15 минут (отжиг при более высоких температурах сильно ухудшал критические параметры пленок). Вторая часть пленки использовалась в качестве контрольной. С помощью четырехзондового метода были измерены зависимости  $\rho(T)$ , представленные на рис. 1, а. Из рисунка видно, что сопротивление пленки с серебряным покрытием (кривая 1) в нормальном состоянии почти в два раза меньше, чем у контрольной пленки (кривая 2), и при примерно одинаковой температуре начала перехода  $T_N$  значительно уменьшается ширина перехода  $\Delta T$ .

После этого обе пленки погружались в воду на 30 минут и просушивались при комнатной температуре. Проведенные затем измерения показали, что сопротивление контрольной пленки возросло на порядок и значительно уменьшилась критическая температура (кривая 2' на рис. 1, а). Сопротивление пассивированной же пленки возросло незначительно, а критическая температура практически не изменилась (кривая 1').

При пассивировании пленок вторым методом слой серебра наносился на напыленную сверхпроводниковую пленку в процессе ее охлаждения при температурах 300–400 °C с помощью того же лазера, после чего температура понижалась до комнатной в течении 20–30 минут. Для пленок, полученных этим методом, были обнаружены несколько неожиданные результаты, представленные на рис. 1, б: кривая 1 – зависимость  $\rho(T)$  сразу после пассивирования, кривые 2 и 3 после двух циклов обработки пленок в воде по 30 минут. Из рисунка видно, что температура  $T_K$  ( $R = 0$ ) возрастает после двухкратной обработки водой, а затем стабилизируется и перестает изменяться при последующих циклах (кривая 4).

Кроме резистивных измерений были проведены методом диамагнитного экранирования исследования влияния пассивирования на диамагнитный переход в различных магнитных полях.

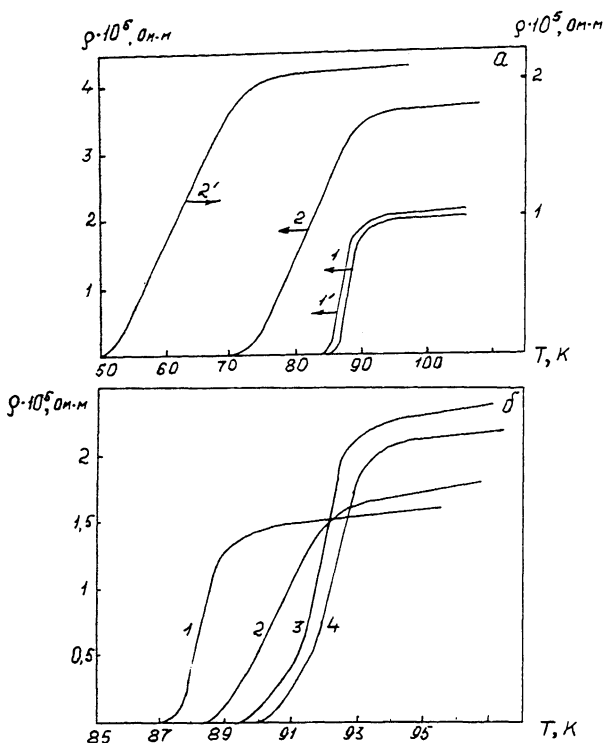


Рис. 1. Зависимость удельного сопротивления  $\rho$  от температуры:  
а) 1 – пассивированная и 2 – контрольная пленки после отжига,  
1 и 2 соответственно после их обработки водой; б) для пассивированной пленки: 1 – исходная зависимость, 2, 3, 4 – после последовательной обработки пленки водой.

Результаты измерений представлены на рис. 2. Кривые 1, 2, 3 получены для исходной непассивированной пленки в полях 0.1, 1, 10 Э, а кривые 1', 2', 3' – после пассивации в этих же полях. Из рисунка видно, что после пассивирования критическая температура пленки увеличилась на 4 K, а также уменьшилась ширина перехода. Возросла также устойчивость пленки к магнитному полю – смещение критической температуры при возрастании магнитного поля у пассивированной пленки меньше, чем у исходной, что указывает на увеличение критического магнитного поля, а следовательно и критического тока пассивированной пленки.

Представляют интерес также исследования изменения параметров сверхпроводниковых пленок при длительном нахождении их в вакуме. Для эксперимента были выбраны две пленки: одна без защи-

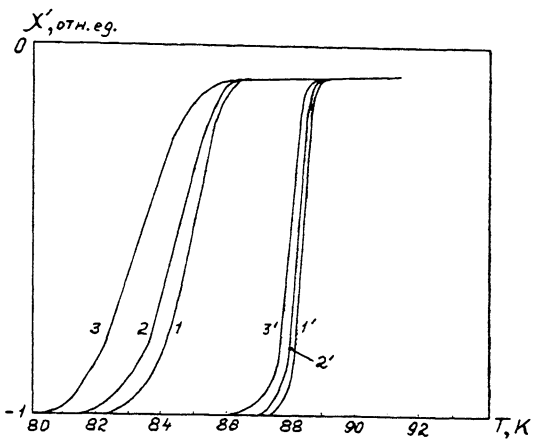


Рис. 2. Зависимость действительной части магнитной восприимчивости  $X'$  от температуры  $T$  в различных магнитных полях: 1 - 0.1 Э, 2 - 1 Э, 3 - 10 Э для непассивированной пленки; 1' - 0.1 Э, 2' - 1 Э, 3' - 10 Э для этой же пленки после пассивирования серебром.

ного покрытия (контрольная), вторая - пассивированная серебром. Пленки были помещены в вакуумный криостат ( $\rho = 10^{-5}$  мм рт. ст.). Температура перехода в сверхпроводящее состояние у контрольной пленки была  $T_k = 88$  К, а у пассивированной  $T_k = 90$  К. После пяти месяцев нахождения в вакууме контрольная пленка полностью деградировала, а критическая температура пассивированной пленка практически не изменилась. Отметим, что направленность магнитного поля, необходимая для перевода пленки в нормальное состояние, постепенно увеличивалась и после 12 месяцев нахождения пленки в вакууме возросла в два раза.

Из представленных результатов можно сделать следующие выводы: во-первых, пассивирование серебром с последующей термической обработкой ВТСП пленок является эффективной защитой их от воздействия воды и предотвращает деградацию параметров пленок при нахождении в вакууме в течении длительного времени; во-вторых, при пассивировании поверхности пленок серебром увеличивается критическая температура  $T_k$ , критический ток пленок и повышается степень экранирования магнитного поля. С течением времени при нахождении пленки в вакууме эти параметры даже несколько улучшаются.

Окончательные выводы относительно механизмов, приводящих к описанным выше эффектам, можно сделать после соответствующих исследований, однако позволим себе высказать ряд соображений.

Улучшение критических параметров пленок после пассивирования, видимо, связано с тем, что в процессе напыления пленки ВТСП имели некоторый дефицит по кислороду, а пассивирование частично ликвидирует этот дефицит.

Этот вывод подтверждается экспериментами, в которых в качестве исходных использовались пленки с относительно низкими критическими температурами (70–80 К). В таких пленках после пассивирования было получено наибольшее возрастание  $T_K$  ( $\sim 10$  К).

Помимо этого, часть атомов серебра может внедряться в приповерхностный слой кристаллитов, изменяя при этом валентное состояние атомов меди, что приводит, в свою очередь, к улучшению проводимости пленки.

Постепенное увеличение устойчивости пассивированной пленки по отношению к магнитному полю при ее нахождении в вакууме может свидетельствовать о диффузном характере происходящих в ней изменений структуры, которые, по всей видимости, связаны с перераспределением атомов кислорода на границах и в объеме кристаллитов. Такое перераспределение стимулируется атомами серебра.

#### Список литературы

- [1] Miller J.H., Holder S.H. et all. // Appl. Phys. Lett. 1989. V. 54. P. 2256–2258.
- [2] Imanaka N., Saito F. et all. // Jap. J. Appl. Phys. 1989. V. 28. N 4. P. L580–L582.
- [3] Зайцев-Зотов С.В., Мартынюк А.Н., Протасов Е.А. // ФТТ. 1983. Т. 25. В. 1. С. 148–154.

Московский институт  
радиотехники, электроники  
и автоматики

Письма в ЖТФ, том 16, вып. 17

Поступило в редакцию  
2 марта 1990 г.

12 августа 1990 г.

09

© 1990

ГИСТЕРЕЗИСНЫЙ РЕЖИМ КЕРАМИЧЕСКОГО ВЧ СКВИДА  
В УСЛОВИЯХ БОЛЬШИХ ТЕРМОДИНАМИЧЕСКИХ  
ФЛУКТУАЦИЙ (T = 77 K)

В.М. Закосаренко, Е.В. Ильинев,  
В.А. Тулин

Обычно учет влияния собственного теплового шума джозефсоновского контакта основывается на его резистивной модели [1]. В рамках этой модели источником шума является нормальное сопротивление  $R_N$  джозефсоновского контакта.